

รายการอ้างอิง

- [1] Yaghjian, A. D. An overview of near-field antenna measurements. IEEE Trans. Antennas and Propagation AP-34 (January 1986) : 30-45.
- [2] Baird, R. C., Newell, A. C., and Stubenrauch, C. F. A brief history of near-field measurements of antennas at the National Bureau of Standards. IEEE Trans. Antennas and Propagation 36 (June 1988) : 727-733.
- [3] Joy, E. B. A brief history of the development of the near-field measurement technique at the Georgia Institute of Technology. IEEE Trans. Antennas and Propagation 36 (June 1988) : 740-745.
- [4] Wang, J. J. H. An example of the theory and practices of planar near-field measurement. IEEE Trans. Antennas and Propagation 36 (June 1988) : 746-753.
- [5] Hajian, M., Ligthart, L. P., and Tian, M. The theory and practice of planar near-field measurements at Delft University of Technology. IEEE Trans. Antennas and Propagation (1993) : 191-196.
- [6] Joy, E. B. Spatial sampling and filtering in near-field measurements. IEEE Trans. Antennas and Propagation AP-20 (May 1972) : 253-261.
- [7] Kraus, J. D. Antennas. Singapore: McGraw-Hill Book Company, 1988.
- [8] Kerns, D. M., Plane-wave scattering-matrix theory of antennas and antenna-antenna interactions: formulation and applications. Journal of Research of the National Bureau of Standards-B. Mathematical Sciences. 80B (January-March 1976) : 5-51
- [9] Paris, D. T., Leach, W. M., and Joy, E. B. Basic theory of probe-compensated near-field measurements. IEEE Trans. Antennas and Propagation AP-26 (May 1978) : 373-379.
- [10] Joy, E. B., Leach, W. M., Rodrigue G. P., and Paris, D. T. Applications of probe-compensated near-field measurements. IEEE Trans. Antennas and Propagation AP-26 (May 1978) : 379-389.
- [11] Repjar, A. G., Newell, A. C., and Francis, M. H. Accurate determination of planar near-field correction parameters for linearly polarized probes. IEEE Trans. Antennas and Propagation 36 (June 1988) : 855-868.
- [12] Lee, K. F. Principles of antenna theory. John Wiley & Sons Ltd., 1984.

- [13] Yaghjian, A. D. Approximate formulars for the far field and gain of open-ended rectangular waveguide. IEEE Trans. Antennas and Propagation AP-32 (April 1984) :378-384.
- [14] Bucci, O. M., Schirinzi, G., and Leone, G. A compensation technique for positioning errors in planar near-field measurements. IEEE Trans. Antennas and Propagation 36 (August 1988) : 1167-1172.
- [15] Narasimhan, M. S., and Karthikeyan M. Evaluation of fourier transform integrals using FFT with improved accuracy and its applications. IEEE Trans. Antennas and Propagation AP-32 (April 1984) : 404-408.
- [16] สมชาย จิตะพันธ์กุล. ฟูเรียร์ทรานส์ฟอร์ม. เอกสารประกอบการสอนวิชาฟูเรียร์ ทรานส์ฟอร์ม
- [17] Balanis, C. A. Advanced engineering electromagnetics. John Wiley & Sons, Inc., 1989.

ภาคผนวก

ภาคผนวก ก.

การวิเคราะห์เวกเตอร์

เอกลักษณ์ผลคูณเวกเตอร์

ถ้า \vec{A}, \vec{B} และ \vec{C} เป็นเวกเตอร์

$$\vec{A} \cdot (\vec{B} \times \vec{C}) = \vec{C} \cdot (\vec{A} \times \vec{B}) = \vec{B} \cdot (\vec{C} \times \vec{A}) \quad (\text{ก.1})$$

$$\vec{A} \cdot (\vec{B} \times \vec{C}) = \vec{C} \cdot (\vec{A} \times \vec{B}) = \vec{B} \cdot (\vec{C} \times \vec{A}) \quad (\text{ก.2})$$

$$\vec{A} \times (\vec{B} \times \vec{C}) = (\vec{A} \cdot \vec{C})\vec{B} - (\vec{A} \cdot \vec{B})\vec{C} \quad (\text{ก.3})$$

เอกลักษณ์เวกเตอร์รูปอนุพันธ์

กำหนดให้ Φ, Ψ เป็นปริมาณสเกลาร์ และ \vec{A}, \vec{B} เป็นเวกเตอร์

$$\nabla \cdot (\nabla \times \vec{A}) = 0 \quad (\text{ก.4})$$

$$\nabla \times \nabla \Phi = 0 \quad (\text{ก.5})$$

$$\nabla \times (\nabla \times \vec{A}) = \nabla(\nabla \cdot \vec{A}) - \nabla^2 \vec{A} \quad (\text{ก.6})$$

$$\nabla \cdot (\Psi \vec{A}) = \nabla \Psi \cdot \vec{A} + \Psi \nabla \cdot \vec{A} \quad (\text{ก.7})$$

$$\nabla \times (\Psi \vec{A}) = \nabla \Psi \times \vec{A} + \Psi \nabla \times \vec{A} \quad (\text{ก.8})$$

ทฤษฎีไดเวอร์เจนซ์ (divergence theorem)

$$\int_V (\nabla \cdot \vec{A}) dV = \oint_S (\vec{A} \cdot \hat{n}) dS \quad (\text{ก.9})$$

โดยที่พื้นผิว S คือพื้นผิวปิดที่ล้อมรอบบริเวณ และเวกเตอร์ \hat{n} เป็นเวกเตอร์หนึ่งหน่วยที่ตั้งฉากกับพื้นผิว S และมีทิศพุ่งออกจากพื้นผิว S

การแปลงระบบพิกัดจากระบบพิกัดคาร์ทีเซียนไปเป็นระบบพิกัดทรงกลมและกลับกัน

1. การแปลงตัวแปร

$$x = r \sin \theta \cos \phi \quad (\text{ก.10ก})$$

$$y = r \sin \theta \sin \phi \quad (\text{ก.10ข})$$

$$z = r \cos \theta \quad (\text{ก.10ค})$$

$$r = (x^2 + y^2 + z^2)^{1/2} \quad (\text{ก.11ก})$$

$$\phi = \tan^{-1} \frac{y}{x} \quad (\text{ก.11ข})$$

$$\theta = \cos^{-1} \left[\frac{z}{(x^2 + y^2 + z^2)^{1/2}} \right] \quad (\text{ก.11ค})$$

2. การแปลงเวกเตอร์หน่วย

$$\hat{x} = \hat{r} \sin \theta \cos \phi + \hat{\theta} \cos \theta \cos \phi - \hat{\phi} \sin \phi \quad (\text{ก.12ก})$$

$$\hat{y} = \hat{r} \sin \theta \sin \phi + \hat{\theta} \cos \theta \sin \phi + \hat{\phi} \cos \phi \quad (\text{ก.12ข})$$

$$\hat{z} = \hat{r} \cos \theta - \hat{\theta} \sin \theta \quad (\text{ก.12ค})$$

$$\hat{r} = \sin\theta \cos\phi \hat{x} + \sin\theta \sin\phi \hat{y} + \cos\theta \hat{z} \quad (\text{ก.13ก})$$

$$\hat{\theta} = \cos\theta \cos\phi \hat{x} + \cos\theta \sin\phi \hat{y} - \sin\theta \hat{z} \quad (\text{ก.13ข})$$

$$\hat{\phi} = -\sin\phi \hat{x} + \cos\phi \hat{y} \quad (\text{ก.13ค})$$

3. การแปลงเวกเตอร์ใดๆ \vec{A}

$$A_r = \vec{A} \cdot \hat{r} = A_x \sin\theta \cos\phi + A_y \sin\theta \sin\phi + A_z \cos\theta \quad (\text{ก.14ก})$$

$$A_\theta = \vec{A} \cdot \hat{\theta} = A_x \cos\theta \cos\phi + A_y \cos\theta \sin\phi - A_z \sin\theta \quad (\text{ก.14ข})$$

$$A_\phi = \vec{A} \cdot \hat{\phi} = -A_x \sin\phi + A_y \cos\phi \quad (\text{ก.14ค})$$

$$A_x = \vec{A} \cdot \hat{x} = A_r \sin\theta \cos\phi + A_\theta \cos\theta \cos\phi - A_\phi \sin\phi \quad (\text{ก.15ก})$$

$$A_y = \vec{A} \cdot \hat{y} = A_r \sin\theta \sin\phi + A_\theta \cos\theta \sin\phi + A_\phi \cos\phi \quad (\text{ก.15ข})$$

$$A_z = \vec{A} \cdot \hat{z} = A_r \cos\theta - A_\theta \sin\theta \quad (\text{ก.15ค})$$

ภาคผนวก ข.

ทฤษฎีการซัดตัวอย่าง

ทฤษฎีการซัดตัวอย่างของไนควิสต์

ให้ฟังก์ชัน $f(x)$ มีผลการแปลงฟูรีเยร์ตามสมการ (ข.1ก) เป็น $F(s)$ ซึ่งเป็นฟังก์ชันที่มีค่าจำกัดอยู่ในช่วง $|s| \leq s_m$ โดยที่ s_m เป็นจำนวนบวกใดๆ และการแปลงกลับฟูรีเยร์ที่สัมพันธ์กับสมการ (ข.1ก) เป็นดังสมการ (ข.1ข)

$$F(s) = \mathfrak{F}\{f(x)\} = \int_{-\infty}^{\infty} f(x)e^{-j2\pi xs} ds \quad (\text{ข.1ก})$$

$$f(x) = \mathfrak{F}^{-1}\{F(s)\} = \int_{-\infty}^{\infty} F(s)e^{j2\pi xs} dx \quad (\text{ข.1ข})$$

สมมติว่าฟังก์ชัน $f(x)$ ถูกซัดตัวอย่างด้วยระยะห่างการซัดตัวอย่างเป็น Δx จะได้ชุดของค่าซัดตัวอย่างเป็น

$$\begin{aligned} f_s(x) &= f(x) \sum_{n=-\infty}^{\infty} \delta(x - n\Delta x) \\ &= \sum_{n=-\infty}^{\infty} f(n\Delta x) \delta(x - n\Delta x) \end{aligned} \quad (\text{ข.2})$$

โดยที่ $\delta(x)$ เป็นเดลตาฟังก์ชัน ผลการแปลงฟูรีเยร์ของสมการ (ข.2) จะเป็น

$$\begin{aligned} F_s(s) &= F(s) * \frac{1}{\Delta x} \sum_{n=-\infty}^{\infty} \delta\left(s - \frac{n}{\Delta x}\right) \\ &= \frac{1}{\Delta x} \sum_{n=-\infty}^{\infty} F\left(s - \frac{n}{\Delta x}\right) \end{aligned} \quad (\text{ข.3})$$

โดยที่ * หมายถึงการคอนโวลูชัน และ $\frac{1}{\Delta x} \sum_{n=-\infty}^{\infty} \delta(s - \frac{n}{\Delta x})$ เป็นผลการแปลงฟูริเยร์ของ $\sum_{n=-\infty}^{\infty} \delta(x - n\Delta x)$ [16] ดังนั้นจะเห็นได้จากสมการ (ข.3) ว่าถ้า $\frac{1}{\Delta x} \geq 2s_m$ แล้วจะทำให้ฟังก์ชัน $F_s(s)$ เป็นฟังก์ชันรายคาบที่แต่ละคาบมีรูปร่างของ $F(s)$ ปรากฏอยู่โดยไม่ผิดเพี้ยน ทำให้เราสามารถหา $F(s)$ กลับคืนมาจาก $F_s(s)$ ได้แต่ถ้า $\frac{1}{\Delta x} < 2s_m$ จะทำให้ $F(s - \frac{n}{\Delta x})$ เกยซ้อนกับ $F(s - \frac{n-1}{\Delta x})$ และ $F(s - \frac{n+1}{\Delta x})$ ที่ทุกๆค่า n ทำให้ฟังก์ชัน $F_s(s)$ เป็นฟังก์ชันรายคาบที่ไม่ปรากฏรูปร่างของ $F(s)$ ที่สมบูรณ์อยู่แล้ว โดยการผิดเพี้ยนจะยิ่งมีมากขึ้นเมื่อ $\frac{1}{\Delta x}$ ยิ่งน้อยกว่า $2s_m$ เนื่องจากการเกยซ้อนกันจะยิ่งลึกเข้าไปมากขึ้น ดังนั้นค่าระยะการซัดตัวอย่าง Δx จะต้องมีค่าน้อยกว่าหรือเท่ากับ $1/2s_m$ โดยค่า Δx ที่มากที่สุดที่ยังสามารถหา $F(s)$ กลับคืนมาจาก $F_s(s)$ ก็คือ $1/2s_m$

ซึ่งถ้า $\Delta x \leq 1/2s_m$ แล้วจะได้ว่า $F(s)$ สามารถหาจาก $F_s(s)$ ได้ดังนี้

$$\begin{aligned} F(s) &= \Delta x \Pi(s\Delta x) F_s(s) \\ &= \Pi(s\Delta x) \sum_{n=-\infty}^{\infty} F(s - \frac{n}{\Delta x}) \end{aligned} \quad (\text{ข.4})$$

โดยที่ $\Pi(s\Delta x)$ เป็นฟังก์ชันสี่เหลี่ยมมีความกว้าง $1/\Delta x$ ศูนย์กลางที่ $s=0$ และสูงหนึ่งหน่วย ผลการแปลงฟูริเยร์ผกผันของ (ข.4) จะเป็น

$$\begin{aligned} f(x) &= \Delta x \mathfrak{F}^{-1} \{ \Pi(s\Delta x) * \mathfrak{F}^{-1} \{ F_s(s) \} \} \\ &= \Delta x \left[\frac{1}{\Delta x} \frac{\sin(\pi x / \Delta x)}{(\pi x / \Delta x)} \right] * f_s(s) \\ &= \frac{\sin(\pi x / \Delta x)}{(\pi x / \Delta x)} * \sum_{n=-\infty}^{\infty} f(n\Delta x) \delta(x - n\Delta x) \\ &= \sum_{n=-\infty}^{\infty} f(n\Delta x) \frac{\sin[\pi(x - n\Delta x) / \Delta x]}{[\pi(x - n\Delta x) / \Delta x]} \end{aligned} \quad (\text{ข.5})$$

ความหมายของสมการ (ข.5) คือสามารถหาค่าของ $f(x)$ ที่ทุกๆค่าของ x กลับคืนมาจากชุดค่าซัดตัวอย่างของมัน $f(n\Delta x)$ ได้ เมื่อ $\Delta x \leq 1/2s_m$

ที่กล่าวมาเป็นทฤษฎีการชักตัวอย่างของไนควิสต์แบบ 1 มิติ ถ้าเป็นแบบ 2 มิติการพิจารณาก็คล้ายกัน โดยสมมติว่าฟังก์ชัน $f(x, y)$ ถูกชักตัวอย่างด้วยระยะห่างการชักตัวอย่างในแนวแกน x เป็น Δx และระยะห่างการชักตัวอย่างในแนวแกน y เป็น Δy ดังนั้นจะได้ชุดของค่าชักตัวอย่างเป็น

$$\begin{aligned} f_s(x, y) &= f(x, y) \sum_{m=-\infty}^{\infty} \sum_{n=-\infty}^{\infty} \delta(x - m\Delta x) \delta(y - n\Delta y) \\ &= \sum_{m=-\infty}^{\infty} \sum_{n=-\infty}^{\infty} f(m\Delta x, n\Delta y) \delta(x - m\Delta x) \delta(y - n\Delta y) \end{aligned} \quad (ข.6)$$

เมื่อ $f(x, y)$ มีผลการแปลงฟูริเยร์ 2 มิติตามสมการ (ข.7ก) เป็น $F(u, v)$ ซึ่งเป็นฟังก์ชันที่มีค่าจำกัดอยู่ในช่วง $|u| \leq u_m$ และ $|v| \leq v_m$ โดยที่ u_m และ v_m เป็นจำนวนบวกใดๆ และการแปลงกลับฟูริเยร์ 2 มิติที่สัมพันธ์กับสมการ (ข.7ก) เป็นดังสมการ (ข.7ข)

$$F(u, v) = \mathfrak{T}^2 \{f(x, y)\} = \iint_{-\infty-\infty}^{\infty} f(x, y) e^{-j2\pi(ux+vy)} dx dy \quad (ข.7ก)$$

$$f(x, y) = \mathfrak{T}^{-2} \{F(u, v)\} = \iint_{-\infty-\infty}^{\infty} F(u, v) e^{j2\pi(ux+vy)} du dv \quad (ข.7ข)$$

ซึ่งโดยการพิจารณาเหมือนกับกรณี 1 มิติจะได้ว่าถ้า $\Delta x \leq 1/2u_m$ และ $\Delta y \leq 1/2v_m$ แล้วจะสามารถหาค่า $f(x, y)$ ที่ทุกๆจุดบนระนาบ xy กลับคืนมาได้จากชุดค่าชักตัวอย่างของมันตามสมการดังต่อไปนี้

$$f(x, y) = \sum_{m=-\infty}^{\infty} \sum_{n=-\infty}^{\infty} f(m\Delta x, n\Delta y) \frac{\sin[\pi(x - m\Delta x) / \Delta x]}{\pi(x - m\Delta x) / \Delta x} \frac{\sin[\pi(y - n\Delta y) / \Delta y]}{\pi(y - n\Delta y) / \Delta y} \quad (ข.8)$$

สุดท้ายเปรียบเทียบสมการความสัมพันธ์ระหว่างสนามไฟฟ้าบนระนาบการกวาดวัดกับสเปกตรัมคลื่นระนาบเช่นสมการ (2.3ข) กับสมการ (ข.7ก) จะได้ว่าถ้า $f(x, y)$ เป็น $E_y(x, y, z_i)$ แล้ว $F(u, v)$ จะเป็น $\frac{1}{2\pi} A_y(k_x, k_y) e^{-jk_z z_i}$ โดยที่ $u = -k_x / 2\pi$ และ $v = -k_y / 2\pi$ ดังนั้นจะได้ว่าช่วง $|u| \leq u_m$ จะกลายเป็น $|k_x| \leq 2\pi u_m = k_{xm}$ และช่วง $|v| \leq v_m$ จะกลายเป็น $|k_y| \leq 2\pi v_m = k_{ym}$ หรือก็คือ $u_m = k_{xm} / 2\pi$ และ $v_m = k_{ym} / 2\pi$ ซึ่งเป็นผลให้เงื่อนไขของระยะชักตัวอย่าง $\Delta x \leq 1/2u_m$ และ $\Delta y \leq 1/2v_m$ เปลี่ยนไปกลายเป็น

$$\Delta x \leq \pi / k_{xm} \quad , \quad \Delta y \leq \pi / k_{ym} \quad (ข.9)$$

สเปกตรัมคลื่นระนาบในรูปของอนุกรมฟูรีเยร์ของข้อมูลชักตัวอย่างสนามไฟฟ้าบนระนาบการกวาดวัด

จากสมการ (2.1) โดยแทน $z = z_i$ จะได้ว่า

$$\begin{aligned} \bar{E}(x, y, z_i) &= \frac{1}{2\pi} \int_{-\infty}^{\infty} \int_{-\infty}^{\infty} \bar{A}(k_x, k_y) e^{-jk_x z_i} e^{-j\bar{K} \cdot \bar{P}} dk_x dk_y \\ &= \int_{-k_{ym}}^{k_{ym}} \int_{-k_{xm}}^{k_{xm}} \bar{f}(\bar{K}) e^{-j\bar{K} \cdot \bar{P}} dk_x dk_y \end{aligned} \quad (ข.10)$$

โดยที่ $\bar{f}(\bar{K}) = \frac{1}{2\pi} \bar{A}(k_x, k_y) e^{-jk_x z_i}$ ส่วนเวกเตอร์ $\bar{K} = k_x \hat{x} + k_y \hat{y}$ และ $\bar{P} = x\hat{x} + y\hat{y}$

ซึ่งลิมิตของการอินทิเกรตเปลี่ยนจากลบนันต์ถึงอนันต์ไปเป็น $-k_{xm}$ ถึง k_{xm} และ $-k_{ym}$ ถึง k_{ym} ได้เนื่องจากเงื่อนไข (2.14) บอกว่า $\bar{f}(\bar{K})$ เป็นฟังก์ชันที่มีค่าจำกัดอยู่ในแถบ (band limited function) หรือก็คือ

$$\bar{f}(\bar{K}) \approx 0 \quad \text{เมื่อ} \quad |k_x| \geq k_{xm} > k \quad \text{และ} \quad |k_y| \geq k_{ym} > k \quad (ข.11)$$

เนื่องจากค่าของ $\bar{f}(\bar{K})$ มีนัยสำคัญเฉพาะในช่วง $|k_x| < k_{xm}$ และ $|k_y| < k_{ym}$ ดังนั้นสามารถสมมติได้ว่า $\bar{f}(\bar{K})$ เป็นฟังก์ชันรายคาบ 2 มิติที่มีคาบ T_x ในแนวแกน k_x เป็น $2k_{xm} / 2\pi = k_{xm} / \pi$ และคาบ T_y ในแนวแกน k_y เป็น k_{ym} / π ซึ่งทำให้ $\bar{f}(\bar{K})$ สามารถเขียนได้ในรูปอนุกรมฟูรีเยร์ 2 มิติดังต่อไปนี้

$$\bar{f}(\bar{K}) = \sum_{m=-\infty}^{\infty} \sum_{n=-\infty}^{\infty} \bar{C}_{mn} e^{j\bar{K} \cdot \bar{P}_{mn}} \quad (ข.12ก)$$

โดยที่

$$\bar{P}_{mn} = \frac{m}{T_x} \hat{x} + \frac{n}{T_y} \hat{y} = \frac{m\pi}{k_{xm}} \hat{x} + \frac{n\pi}{k_{ym}} \hat{y} = m\Delta x \hat{x} + n\Delta y \hat{y} \quad (ข.12ข)$$

สัมประสิทธิ์ \bar{C}_{mn} ซึ่งไม่ขึ้นกับ \bar{K} นั้นสามารถหาได้โดยใช้คุณสมบัติตั้งฉาก (orthogonality) ของ $e^{-j\bar{K}\cdot\bar{P}_{mn}}$ ดังต่อไปนี้

$$\int_{-k_{ym}}^{k_{ym}} \int_{-k_{xm}}^{k_{xm}} e^{-j\bar{K}\cdot\bar{P}_{mn}} e^{j\bar{K}\cdot\bar{P}_{m'n'}} dk_x dk_y = \begin{cases} 4k_{xm}k_{ym} & ; m' = m, n' = n \\ 0 & ; \text{กรณีอื่น ๆ} \end{cases} \quad (\text{ข.13})$$

ดังนั้นจากสมการ (ข.12ก) และ (ข.13) จะได้ว่า

$$\bar{C}_{mn} = \frac{1}{4k_{xm}k_{ym}} \int_{-k_{ym}}^{k_{ym}} \int_{-k_{xm}}^{k_{xm}} \bar{f}(\bar{K}) e^{-j\bar{K}\cdot\bar{P}_{mn}} dk_x dk_y \quad (\text{ข.14})$$

สมการ (ข.14) เทียบกับสมการ (ข.10) จะได้ว่า

$$\bar{C}_{mn} = \frac{1}{4k_{xm}k_{ym}} \bar{E}(m\Delta x, n\Delta y, z_i) \quad (\text{ข.15})$$

แทนค่า \bar{C}_{mn} จากสมการ (ข.15) และ $\bar{f}(\bar{K}) = \frac{1}{2\pi} \bar{A}(k_x, k_y) e^{-jk_z z_i}$ ลงในสมการ (ข.12ก) จะได้สมการที่แสดงความสัมพันธ์ของสเปกตรัมคลื่นระนาบกับข้อมูลชักตัวอย่างของสนามไฟฟ้าบนระนาบการกวาดวัดในรูปของอนุกรมฟูรีเยร์ดังต่อไปนี้

$$\bar{A}(k_x, k_y) = \frac{\pi e^{jk_z z_i}}{2k_{xm}k_{ym}} \sum_{m=-\infty}^{\infty} \sum_{n=-\infty}^{\infty} \bar{E}(m\Delta x, n\Delta y, z_i) e^{j\bar{K}\cdot\bar{P}_{mn}} \quad (\text{ข.16})$$

สมการ (ข.16) ต้องอาศัยข้อมูลชักตัวอย่างของสนามไฟฟ้าบนระนาบการกวาดวัดตลอดทั้งระนาบอนันต์ แต่ในทางปฏิบัติสามารถใช้ข้อมูลชักตัวอย่างบนระนาบที่มีขนาดจำกัดได้ เมื่อเงื่อนไขตามสมการ (2.13) ในบทที่ 2 เป็นจริง

ภาคผนวก ค.

ทฤษฎีทางคลื่นแม่เหล็กไฟฟ้าที่เกี่ยวข้อง

ทฤษฎีบทภาวะย้อนกลับของลอเรนซ์

สมมติว่าในตัวกลางซึ่งมีคุณสมบัติเชิงเส้นและไอโซทรอปิก ปรากฏแหล่งกระแสอยู่ 2 แหล่งคือ \vec{J}_1 และ \vec{J}_2 ซึ่งอาจจะเป็นความหนาแน่นกระแสไฟฟ้าบนสายอากาศ 1 และสายอากาศ 2 ตามลำดับ ให้แหล่งกระแสทั้งสองแพร่กระจายคลื่นที่ความถี่เดียวกันโดยจะแพร่กระจายคลื่นพร้อมกันหรือต่างเวลากันก็ได้ ให้คลื่นที่แพร่กระจายออกจากแหล่งกระแสทั้งสองเป็น \vec{E}_1, \vec{H}_1 และ \vec{E}_2, \vec{H}_2 ตามลำดับ ทฤษฎีบทภาวะย้อนกลับกล่าวว่า[17]

$$-\nabla \cdot (\vec{E}_1 \times \vec{H}_2 - \vec{E}_2 \times \vec{H}_1) = \vec{E}_1 \cdot \vec{J}_2 - \vec{E}_2 \cdot \vec{J}_1 \quad (\text{ค.1})$$

สมการ (ค.1) เป็นทฤษฎีบทภาวะย้อนกลับในรูปอนุพันธ์ ทฤษฎีบทภาวะย้อนกลับในรูปอินทิกรัลจะหาได้โดยใช้ทฤษฎีไดเวอร์เจนซ์กับสมการ (ค.1) ดังนี้

$$-\oint_S (\vec{E}_1 \times \vec{H}_2 - \vec{E}_2 \times \vec{H}_1) \cdot \hat{n} ds = \int_V (\vec{E}_1 \cdot \vec{J}_2 - \vec{E}_2 \cdot \vec{J}_1) dv \quad (\text{ค.2})$$

และถ้าพื้นผิวปิด S เป็นทรงกลมรัศมีอนันต์จะได้ว่าสนามไฟฟ้าและสนามแม่เหล็กบนพื้นผิว S เป็นศูนย์ ซึ่งทำให้

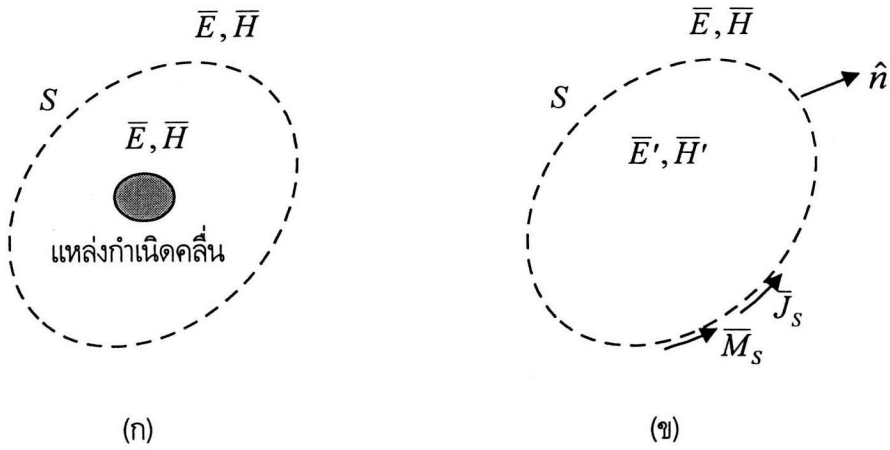
$$\oint_S (\vec{E}_1 \times \vec{H}_2 - \vec{E}_2 \times \vec{H}_1) \cdot \hat{n} ds = 0$$

ดังนั้นจากสมการ (ค.2) จะได้ว่า

$$\int_V \vec{E}_1 \cdot \vec{J}_2 dv = \int_V \vec{E}_2 \cdot \vec{J}_1 dv \quad (\text{ค.3})$$

สมการ (ค.3) เป็นทฤษฎีบทภาวะย้อนกลับในรูปแบบที่ใช้กันมากที่สุด

ทฤษฎีสมมูลเชิงพื้นผิว (surface equivalence theorem)



รูป ค.1 การแทนแหล่งกำเนิดคลื่นภายในพื้นผิว S ตามรูป (ก)
ด้วยแหล่งกระแสสมมูลบนพื้นผิว S ดังรูป (ข)

พิจารณารูป ค.1ก แหล่งกำเนิดคลื่นซึ่งอาจจะเป็นสายอากาศกำเนิดสนามไฟฟ้าและสนามแม่เหล็กเป็น \bar{E}, \bar{H} ทั้งบริเวณภายในและภายนอกพื้นผิว S เมื่อเอาแหล่งกำเนิดคลื่นออกไปและต้องการให้สนามบริเวณภายนอกพื้นผิว S มีค่าเป็น \bar{E}, \bar{H} เหมือนเดิม ส่วนสนามภายในบริเวณพื้นผิว S มีค่าใดๆแล้วแต่ความเหมาะสมเป็น \bar{E}', \bar{H}' ดังในรูป ค.1ข ทำให้ปรากฏมีความไม่ต่อเนื่องของสนามไฟฟ้าและสนามแม่เหล็กขึ้นที่พื้นผิว S ดังนั้นจึงต้องมีแหล่งกระแสสมมูล \bar{J}_s, \bar{M}_s ที่เป็นไปตามเงื่อนไขขอบเขตต่อไปนี้ โดยที่ดัชนีล่าง S หมายถึงเป็นค่าที่พื้นผิว S

$$\bar{J}_s = \hat{n} \times (\bar{H}_s - \bar{H}'_s) \quad (\text{ค.4ก})$$

$$\bar{M}_s = -\hat{n} \times (\bar{E}_s - \bar{E}'_s) \quad (\text{ค.4ข})$$

จะเห็นได้ว่าแหล่งกระแสสมมูลนั้นนอกจากจะมีค่าขึ้นกับ \bar{E}, \bar{H} ที่พื้นผิว S ยังขึ้นกับ \bar{E}', \bar{H}' ตามรูป ค.1ข บนพื้นผิว S อีกด้วย ซึ่งโดยทั่วไป \bar{E}', \bar{H}' ภายในพื้นผิว S จะกำหนดให้มีค่าเป็นแบบหนึ่งแบบใดใน 3 แบบดังต่อไปนี้

1. $\bar{E}' = 0, \bar{H}' = 0$ แบบนี้จะทำให้ (ค.4) กลายเป็น

$$\bar{J}_S = \hat{n} \times \bar{H}_S \quad (\text{ค.5ก})$$

$$\bar{M}_S = -\hat{n} \times \bar{E}_S \quad (\text{ค.5ข})$$

ซึ่งแหล่งกระแสสมมูลในกรณีนี้จะเหมือนกับหลักการของฮอยเกนส์ที่กล่าวไปแล้วในบทที่ 3

2. $\bar{E}' = 0, \bar{H}'_S = \bar{H}_S$ ซึ่งทำได้โดยให้บริเวณภายในพื้นผิว S ทั้งหมดเป็นตัวนำไฟฟ้าสมบูรณ์แบบ (perfect electric conductor) แบบนี้จะทำให้ (ค.4) กลายเป็น

$$\bar{J}_S = 0 \quad (\text{ค.4ก})$$

$$\bar{M}_S = -\hat{n} \times \bar{E}_S \quad (\text{ค.4ข})$$

\bar{J}_S เป็นศูนย์เนื่องจากตัวนำไฟฟ้าสมบูรณ์แบบจะลัดวงจรกระแสไฟฟ้าทั้งหมด ส่วน \bar{E}'_S เป็นศูนย์เนื่องจากสนามไฟฟ้าภายในและบนตัวนำไฟฟ้าสมบูรณ์แบบต้องเป็นศูนย์ตลอด

3. $\bar{E}'_S = \bar{E}_S, \bar{H}' = 0$ ซึ่งทำได้โดยให้บริเวณภายในพื้นผิว S ทั้งหมดเป็นตัวนำแม่เหล็กสมบูรณ์แบบ (perfect magnetic conductor) แบบนี้จะทำให้ (ค.4) กลายเป็น

$$\bar{J}_S = \hat{n} \times \bar{H}_S \quad (\text{ค.6ก})$$

$$\bar{M}_S = 0 \quad (\text{ค.6ข})$$

\bar{M}_S เป็นศูนย์เนื่องจากตัวนำแม่เหล็กสมบูรณ์แบบจะลัดวงจรกระแสแม่เหล็กทั้งหมด ส่วน \bar{H}'_S เป็นศูนย์เนื่องจากสนามแม่เหล็กภายในและบนตัวนำแม่เหล็กสมบูรณ์แบบต้องเป็นศูนย์ตลอด

โดยในแบบที่ 2 และ 3 นั้นตัวนำสมบูรณ์แบบสามารถเอาออกได้โดยใช้ทฤษฎีภาพเสมือน (image theory) กับแหล่งกระแสสมมูล

ภาคผนวก ง.

การหาความสัมพันธ์ระหว่างแบบรูปการแผ่พลังงานย่านสนามไกลกับสเปกตรัมคลื่นระนาบ

จากหลักการของสเปกตรัมคลื่นระนาบในบทที่ 2 สนามไฟฟ้าเนื่องจากสายอากาศทดสอบที่ตำแหน่งใด ๆ ในบริเวณ $z > 0$ ไม่ว่าจะอยู่ในบริเวณสนามไกลหรือสนามไกลจะมีความสัมพันธ์กับสเปกตรัมคลื่นระนาบดังต่อไปนี้

$$\bar{E}(x, y, z) = \frac{1}{2\pi} \int_{-\infty}^{\infty} \int_{-\infty}^{\infty} \bar{A}(k_x, k_y) e^{-j\bar{k} \cdot \bar{r}} dk_x dk_y \quad (2.1)$$

โดยที่ตัวแปรต่าง ๆ ในสมการและความหมายของสมการได้อธิบายไว้แล้วในบทที่ 2

ในบริเวณย่านสนามไกลกล่าวคือ เมื่อระยะทาง r มีค่ามาก ๆ สามารถใช้เทคนิคการคำนวณค่าโดยประมาณที่เรียกว่า วิธีการเฟสคงตัว (method of stationary phase) มาใช้หาค่าโดยประมาณของสมการ (2.1) ได้ดังนี้คือ เมื่อพิจารณาอินทิกรัลของสมการ (2.1) พบว่า เมื่อค่า r มีค่ามาก ๆ ฟังก์ชัน $e^{-j\bar{k} \cdot \bar{r}}$ มีการแกว่งอย่างมาก ดังนั้นการอินทิเกรตมีแนวโน้มหักล้างกันจนเกือบเป็นศูนย์ ยกเว้นในบริเวณเล็ก ๆ บนระนาบ $k_x - k_y$ รอบจุดที่ $\bar{k} \cdot \bar{r}$ ซึ่งเป็นฟังก์ชันของ k_x และ k_y มีการเปลี่ยนแปลงช้าที่สุด โดยที่จุดนั้นเรียกว่า จุดเฟสคงตัว (stationary phase point) ซึ่งเป็นจุดที่ทำให้อนุพันธ์อันดับหนึ่งของ $\bar{k} \cdot \bar{r}$ เทียบกับ k_x และ k_y เป็นศูนย์ดังสมการ (ง.1)

$$\frac{\partial \bar{k} \cdot \bar{r}}{\partial k_x} = 0, \quad \frac{\partial \bar{k} \cdot \bar{r}}{\partial k_y} = 0 \quad (ง.1)$$

และเนื่องจาก $\bar{k} \cdot \bar{r}$ เท่ากับ $k_x x + k_y y + k_z z$ โดยที่ $k_x^2 + k_y^2 + k_z^2 = k^2$ และสำหรับในระบบพิกัดทรงกลม $x = r \sin \theta \cos \phi$, $y = r \sin \theta \sin \phi$ และ $z = r \cos \theta$ ดังนั้น

$$\bar{k} \cdot \bar{r} = r \left(k_x \sin \theta \cos \phi + k_y \sin \theta \sin \phi + \sqrt{k^2 - k_x^2 - k_y^2} \cos \theta \right) \quad (ง.2)$$

จุดเฟสคงตัวสามารถหาได้จากการแทน $\bar{k} \cdot \bar{r}$ ในสมการ (ง.2) ลงไปในสมการ (ง.1) ผลลัพธ์จะได้ว่าจุดเฟสคงตัว (k_{x0}, k_{y0}) เป็นดังนี้

$$k_{x_0} = k \sin \theta \cos \phi, \quad k_{y_0} = k \sin \theta \sin \phi \quad (จ.3)$$

เพราะ $k_{x_0}^2 + k_{y_0}^2 + k_{z_0}^2 = k^2$ ดังนั้น

$$k_{z_0} = k \cos \theta \quad (จ.3)$$

ในบริเวณเล็ก ๆ รอบ ๆ จุดเฟสคงตัว เฟสของฟังก์ชัน $e^{-j\bar{k}\cdot\bar{r}}$ มีการเปลี่ยนแปลงอย่างช้า ๆ ซึ่งทำให้ผลการอินทิเกรตฝั่งขวาของสมการ (2.1) ในบริเวณดังกล่าวนี้ไม่มีแนวโน้มหักล้างกัน และโดยทั่วไปการเปลี่ยนแปลงของ $\bar{A}(k_x, k_y)$ ในบริเวณเล็ก ๆ จะมีน้อยมากจนสามารถประมาณได้ว่า $\bar{A}(k_x, k_y)$ มีค่าคงที่เท่ากับที่จุดเฟสคงตัวในบริเวณเล็ก ๆ รอบจุดเฟสคงตัว ดังนั้นอินทิกรัลในสมการ (2.1) จึงเหลือเพียงส่วนของฟังก์ชัน $e^{-j\bar{k}\cdot\bar{r}}$ เพื่อที่จะหาค่าโดยประมาณของอินทิกรัลในสมการ (2.1) จะต้องกระจาย $\bar{k}\cdot\bar{r}$ รอบ ๆ จุดเฟสคงตัว (k_{x_0}, k_{y_0}) โดยใช้อนุกรมเทย์เลอร์ไปจนถึงอันดับที่ 2 ดังต่อไปนี้

$$\bar{k}\cdot\bar{r} \cong kr - (Au^2 + Bv^2 + Cuv) \quad (จ.4)$$

โดยที่ $u = k_x - k_{x_0}$, $v = k_y - k_{y_0}$ ส่วน A , B และ C เป็นค่าคงที่ตามสมการต่อไปนี้

$$A = \left. \frac{1}{2} \frac{\partial^2 \bar{k}\cdot\bar{r}}{\partial k_x^2} \right|_{k_x=k_{x_0}, k_y=k_{y_0}} = \frac{r}{2k} \left(\frac{k_{x_0}^2 + k_{z_0}^2}{k_{z_0}^2} \right) \quad (จ.5ก)$$

$$B = \left. \frac{1}{2} \frac{\partial^2 \bar{k}\cdot\bar{r}}{\partial k_y^2} \right|_{k_x=k_{x_0}, k_y=k_{y_0}} = \frac{r}{2k} \left(\frac{k_{y_0}^2 + k_{z_0}^2}{k_{z_0}^2} \right) \quad (จ.5ข)$$

$$C = \left. \frac{1}{2} \frac{\partial^2 \bar{k}\cdot\bar{r}}{\partial k_x \partial k_y} \right|_{k_x=k_{x_0}, k_y=k_{y_0}} = \frac{r}{k} \left(\frac{k_{x_0} k_{y_0}}{k_{z_0}^2} \right) \quad (จ.5ค)$$

ดังนั้นผลเฉลยโดยประมาณของสนามไฟฟ้าในย่านสนามไกลจากสมการ (2.1) จะเป็น

$$\bar{E}(r, \theta, \phi) \cong \frac{e^{-jkr}}{2\pi} \bar{A}(k_{x_0}, k_{y_0}) \iint_{\Delta S} e^{j(Au^2 + Cuv + Bv^2)} du dv \quad (จ.6)$$

โดยที่ ΔS เป็นบริเวณเล็ก ๆ รอบ ๆ จุดเฟสคงตัว ซึ่งก็คือจุดที่ $u, v=0$ ในระนาบ $u-v$ และเนื่องจากค่าคงที่ A, B และ C มีค่ามากเมื่อ r มีค่ามากดังนั้นฟังก์ชัน $e^{j(Au^2+Cuv+Bv^2)}$ เกิดการแกว่งอย่างรวดเร็วเมื่อ u และ v ไม่เป็นศูนย์ ทำให้การอินทิเกรตบนระนาบ $u-v$ ภายนอกบริเวณ ΔS จะถูกหักล้างจากการรวมกันทางเฟสดังนั้นอินทิกรัลในสมการ (ง.6) สามารถขยายขอบเขตครอบคลุมระนาบ $u-v$ ทั้งหมดได้ดังสมการ (ง.7)

$$\iint_{\Delta S} e^{j(Au^2+Cuv+Bv^2)} du dv \cong \int_{-\infty}^{\infty} \int_{-\infty}^{\infty} e^{j(Au^2+Cuv+Bv^2)} du dv \quad (ง.7)$$

อินทิกรัลทางฝั่งขวาของสมการ (ง.7) นี้สามารถคำนวณค่าได้เป็น

$$\frac{2\pi e^{j\pi/2}}{\sqrt{4AB-C^2}} = \frac{j2\pi}{\sqrt{4AB-C^2}}$$

ซึ่งเมื่อแทนค่า A, B และ C จากสมการ (ง.5) จะทำให้อินทิกรัลนี้มีค่าเป็น

$$\frac{j2\pi k}{r} \cos\theta$$

แทนค่าอินทิกรัลทางฝั่งขวาของสมการ (ง.7) นี้ลงในสมการ (ง.6) จะได้การกระจายของสนามไฟฟ้าที่ตำแหน่งใด ๆ ในบริเวณสนามไกล หรือแบบรูปการแผ่พลังงานย่านสนามไกลเป็นดังสมการต่อไปนี้

$$\bar{E}(r, \theta, \phi) \cong jk \frac{\cos\theta}{r} e^{-jkr} \bar{A}(k \sin\theta \cos\phi, k \sin\theta \sin\phi) \quad (ง.8)$$

โดยที่ θ และ ϕ เป็นมุมในระบบพิกัดทรงกลม โดยจากสมการ (ง.8) จะเห็นได้ว่าแบบรูปการแผ่พลังงานย่านสนามไกลมีความสัมพันธ์กับ $\bar{A}(k \sin\theta \cos\phi, k \sin\theta \sin\phi)$ ซึ่งเป็นค่าสเปกตรัมคลื่นระนาบที่ k_x เท่ากับ $k \sin\theta \cos\phi$ และ k_y เท่ากับ $k \sin\theta \sin\phi$

ประวัติผู้เขียน

นายอนล ศาสตรี เกิดวันที่ 29 ตุลาคม พ.ศ. 2517 ที่เขตพญาไท จังหวัดกรุงเทพมหานคร สำเร็จการศึกษาปริญญาตรีวิศวกรรมศาสตรบัณฑิต สาขาวิศวกรรมไฟฟ้า ภาควิชาวิศวกรรมไฟฟ้า คณะวิศวกรรมศาสตร์ จุฬาลงกรณ์มหาวิทยาลัย ในปีการศึกษา 2537 โดยระหว่างการศึกษาได้ฝึกงานที่กรมไปรษณีย์โทรเลข และในปีการศึกษา 2538 ได้เข้าศึกษาต่อในหลักสูตรวิศวกรรมศาสตรมหาบัณฑิตสาขาวิศวกรรมไฟฟ้า ภาควิชาวิศวกรรมไฟฟ้า คณะวิศวกรรมศาสตร์ จุฬาลงกรณ์มหาวิทยาลัย โดยได้รับทุนการวิจัยจากสำนักงานพัฒนาวิทยาศาสตร์และเทคโนโลยีแห่งชาติ (สวทช.) ในปีการศึกษา 2539 เป็นระยะเวลา 1 ปี

พ.ศ. 2539 ได้นำเสนอผลงานวิจัยในเรื่องที่เป็นส่วนหนึ่งของวิทยานิพนธ์ฉบับนี้ในวารสารวิศวกรรมสารฉบับเดือนธันวาคม